

- Introduzione
- Formulazione del modello (dinamico, lineare, tempo-invariante)
- Movimento ed equilibrio
- Stabilità
- I sistemi non lineari (cenni)
- Raggiungibilità ed osservabilità
- Progetto di sistemi di controllo (nel dominio del tempo)
- Segnali e sistemi nel dominio della frequenza
- Progetto di sistemi di controllo (nel dominio della frequenza)

STABILITA'

È una proprietà del sistema (del solo movimento libero) che studia la "memoria" che il sistema ha dello stato iniziale, sui tempi lunghi, ovvero studia il comportamento asintotico del movimento libero

$$\lim_{t \rightarrow +\infty} \phi(t) x(0) \quad \left[\phi(t) x(0) \xrightarrow{t \rightarrow +\infty} ? \right]$$

Nota: la stabilità dipende solo dalla matrice A del sistema.

4 CLASSI DI STABILITA'

1) Sistemi asintoticamente stabili: dimenticano (asintoticamente) $x(0)$

$$\phi(t) x(0) \xrightarrow{t \rightarrow +\infty} 0 \quad \forall x(0)$$

$$\text{equivalentemente: } \phi_{ij}(t) \xrightarrow{t \rightarrow +\infty} 0 \quad \forall (i,j)$$

2) Sistemi semplicemente stabili: mantengono la memoria di alcuni $x(0)$

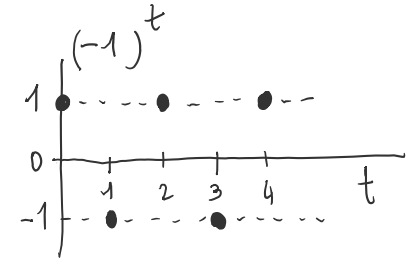
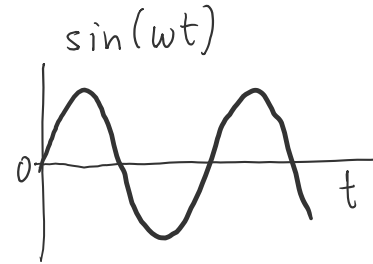
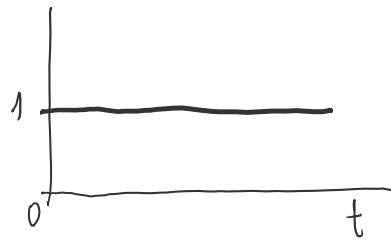
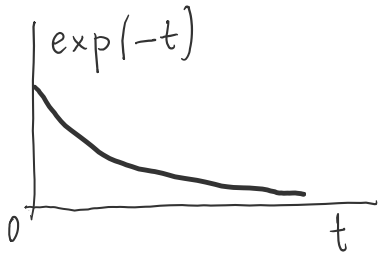
$$\phi(t) x(0) \text{ è limitato } \forall x(0), \text{ ma } \exists x(0) : \phi(t) x(0) \not\xrightarrow{t \rightarrow +\infty} 0$$

$$\text{equivalentemente: } \phi_{ij}(t) \text{ limitato } \forall (i,j), \text{ ma } \exists (i,j) : \phi_{ij}(t) \not\xrightarrow{t \rightarrow +\infty} 0$$

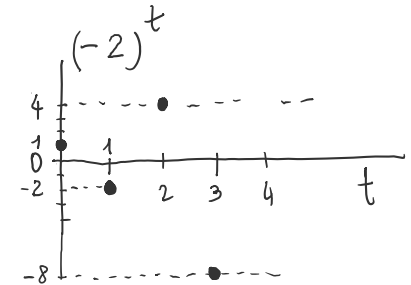
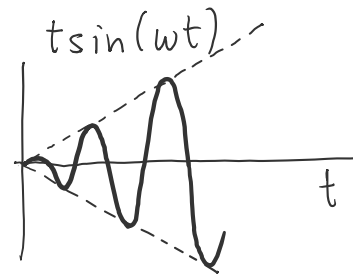
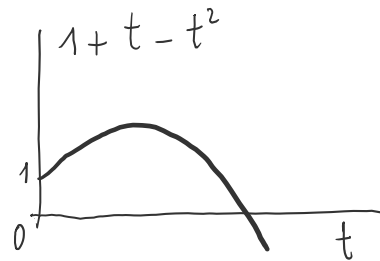
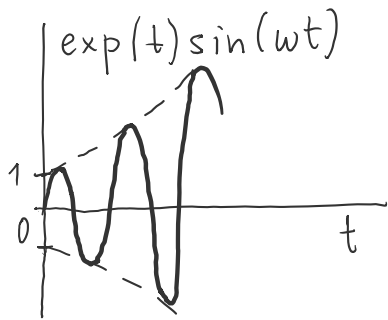
SEGNALI LIMITATI E ILLIMITATI

Un segnale $y(t)$ (definito per $t \geq 0$) è limitato se \exists una costante Y :
 $|y(t)| < Y \quad \forall t \geq 0$ (è confinato nella fascia $\pm Y$).
 È illimitato altrimenti.

Esempi di segnali limitati tipici del movimento libero



Esempi di segnali illimitati tipici del movimento libero



Nota: in entrambi i casi, il lim per $t \rightarrow +\infty$ può non essere definito.

4 CLASSI DI STABILITÀ

1) Sistemi asintoticamente stabili: dimenticano (asintoticamente) $x(0)$

$$\phi(t)x(0) \rightarrow 0 \quad \forall x(0)$$

$$\text{equivalentemente: } \phi_{ij}(t) \xrightarrow{t \rightarrow +\infty} 0 \quad \forall (i,j)$$

2) Sistemi semplicemente stabili: mantengono la memoria di alcuni $x(0)$

$$\phi(t)x(0) \text{ è limitato } \forall x(0), \text{ ma } \exists x(0) : \phi(t)x(0) \not\xrightarrow{t \rightarrow +\infty} 0$$

$$\text{equivalentemente: } \phi_{ij}(t) \text{ limitato } \forall (i,j), \text{ ma } \exists (i,j) : \phi_{ij}(t) \not\xrightarrow{t \rightarrow +\infty} 0$$

3, 4) Sistemi instabili: amplificano la memoria di alcuni $x(0)$

$$\phi(t)x(0) \text{ è illimitato per qualche } x(0)$$

$$\text{equivalentemente: } \exists (i,j) : \phi_{ij}(t) \text{ è illimitato}$$

3) debolmente instabili

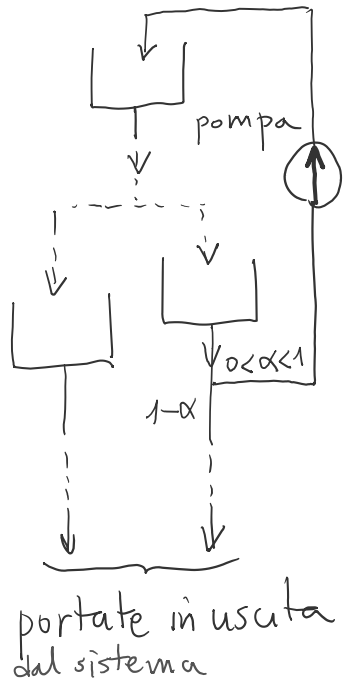
tutti i $\phi_{ij}(t)$ illimitati lo sono con legge polinomiale in t

4) (fortemente / esponenzialmente) instabili

$\exists (i,j) : \phi_{ij}(t)$ è illimitato con legge esponenziale a t.c. (geometrica a t.d.) in t

ESEMPIO: Rete di serbatoi

$$(u(t) = 0)$$



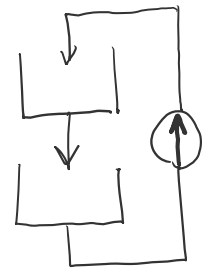
Se da ogni serbatoio c'è un percorso che porta almeno parte della portata scaricata fuori dal sistema idrico

→ sistema as. stab.

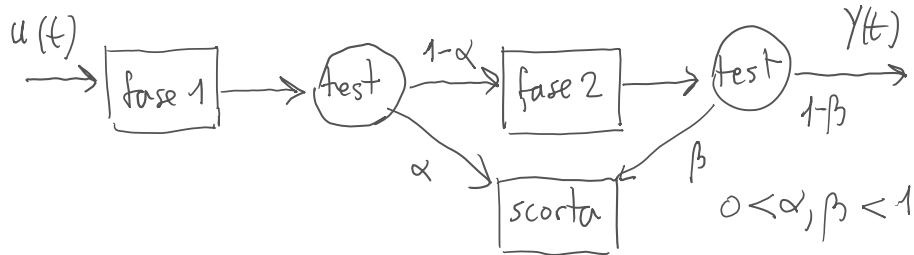
Fintanto che c'è acqua in qualche serbatoio, una portata proporzionale lascia il sistema, quindi tutti i serbatoi, asintoticamente si svuotano.

Se tale percorso manca per qualche serbatoio

→ sistema s. stab.

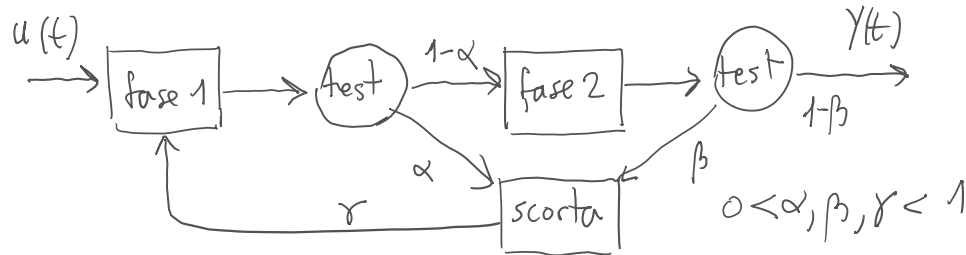


ESEMPIO: PROCESSO DI PRODUZIONE

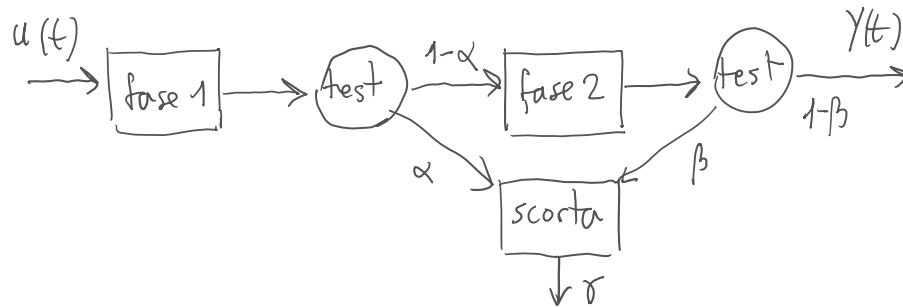


→ semp. stab.

Se da ogni parte del processo (fase di lavorazione, scorta, etc) c'è un percorso che porta del materiale fuori dall'impianto, allora il processo è as. stab.
Altrimenti è semp. stab.



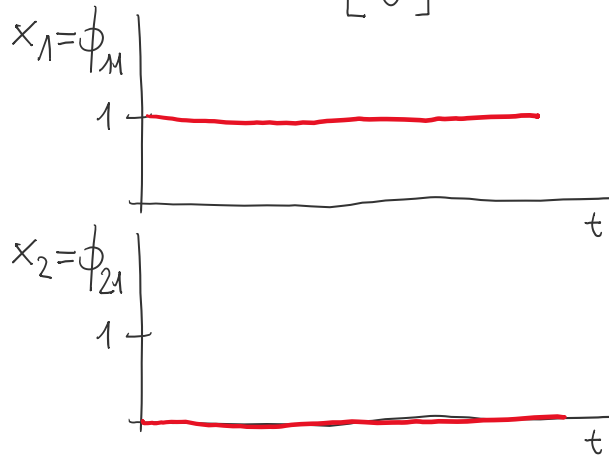
→ as. stab.



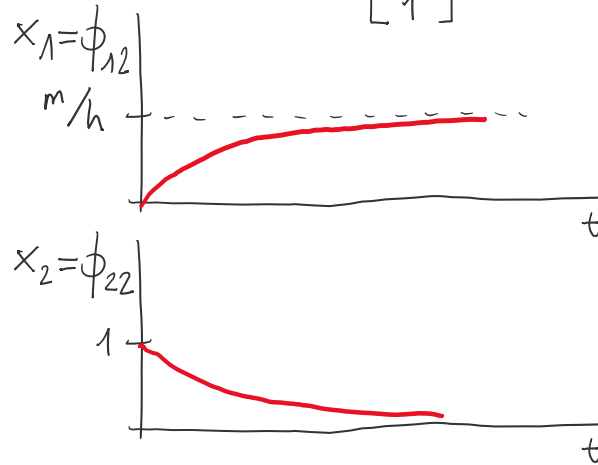
ESEMPIO: Newton

Con attrito, $h > 0$

$$x(0) = \begin{bmatrix} 1 \\ 0 \end{bmatrix}$$

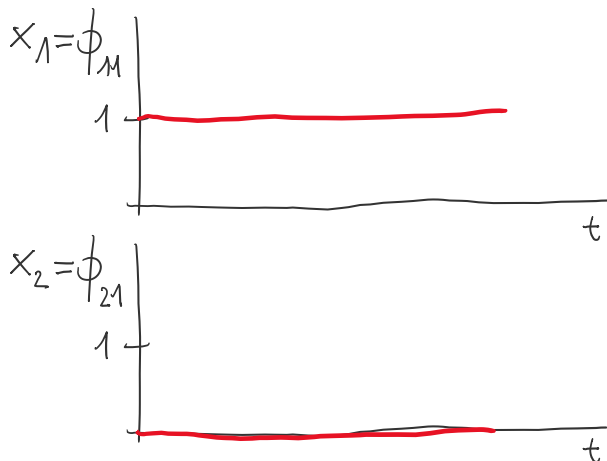


$$x(0) = \begin{bmatrix} 0 \\ 1 \end{bmatrix}$$

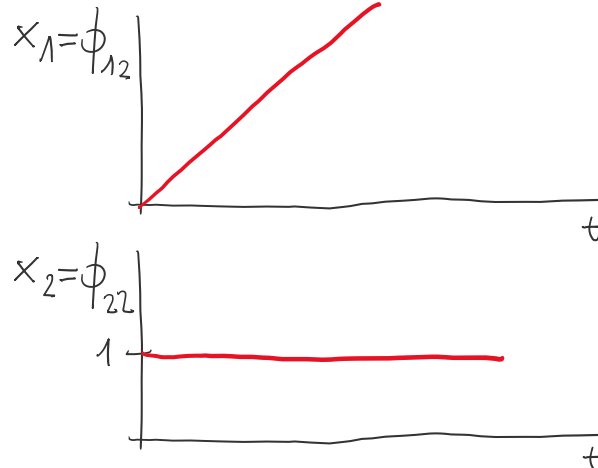


→ s. stab.

Senza attrito, $h = 0$



$$\dot{x}_1 = x_2 \rightarrow x_1(t) = \underbrace{x_1(0)}_0 + \int_0^t \underbrace{x_2(0)}_1 d\tau = t$$



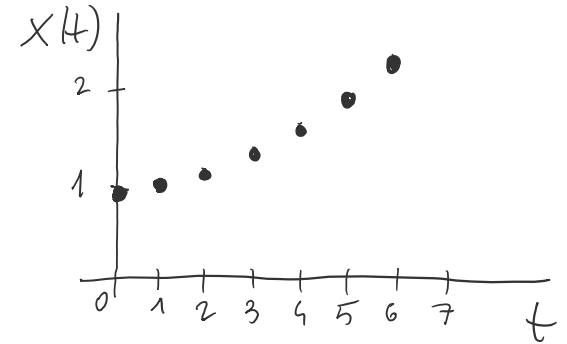
→ d. instab.

ESEMPIO: il conto corrente è (f.) instab.

$u(t) = 0$: nessun prelievo o deposito

$0 < p < 1$: tasso d'interesse giornaliero

$$X(t+1) = \underbrace{(1+p)}_{>1} X(t) \rightarrow X(t) = (1+p)^t X(0)$$



ESEMPIO: anche Fibonacci è (f.) instab. $\left(\lambda = \frac{1+\sqrt{5}}{2} > 1 \right)$

ESEMPIO: crescita di una popolazione (o biomassa)

$x(t)$: densità di popolazione (biomassa)

b : tasso di natalità (produzione) pro-capite (per-unità)

d : tasso di mortalità (degradazione) pro-capite (per-unità)

$$\dot{x} = b x - d x = \underbrace{(b-d)}_r x \rightarrow x(t) = x(0) \exp(rt) \quad r > 0 \rightarrow \text{sist. (f.) instab.}$$

r : tasso di crescita pro-capite (per-unità)

Nota: x non può crescere illimitata. Effetti di competizione sono descritti da un termine non lineare $-cx^2$ che limita la crescita (vedi modello logistico)

LEGAME TRA STABILITA' E MATRICE A

Il caso semplicissimo dei sistemi del I ordine

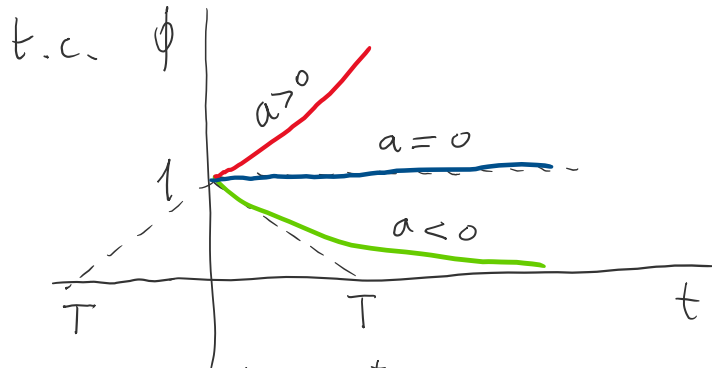
$$\text{t.c. } \dot{x} = ax \rightarrow x(t) = e^{at} x(0)$$

$$\text{t.d. } x(t+1) = ax(t) \rightarrow x(t) = a^t x(0)$$

$A = a$, matrice 1×1 = suo autovalore

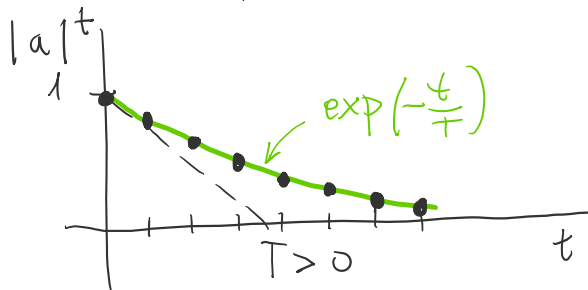
$$\phi(t) \begin{cases} e^{at} & \text{esponenziale} \\ a^t & \text{geometrica} \end{cases}$$

LEGAME TRA STABILITA' E MATRICE A



$$\phi(t) = e^{at} = e^{-\frac{t}{T}}, \quad T = -\frac{1}{a}$$

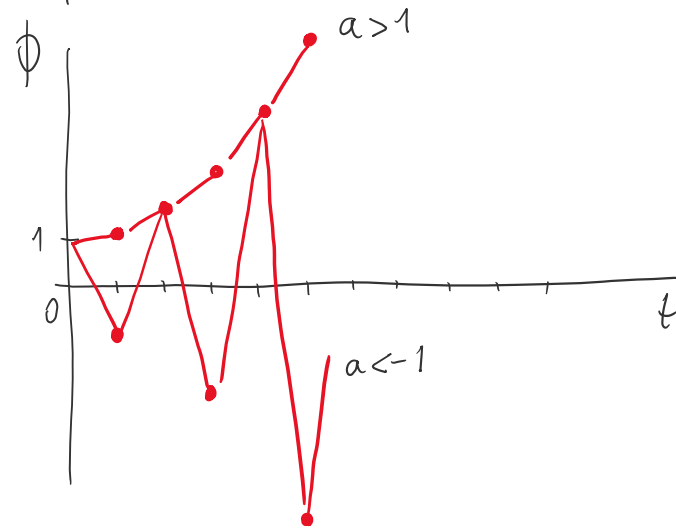
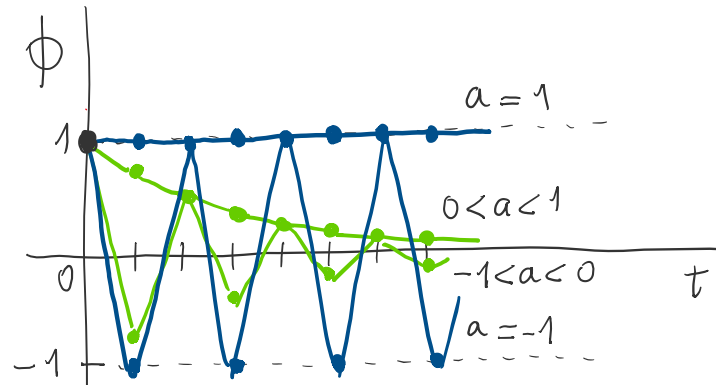
Costante di tempo a t.d.
 è quella dell'esponenziale che interpola a^t



$$|a|^t = \exp\left(-\frac{t}{T}\right)$$

$$\log |a|^t = -\frac{t}{T} \rightarrow T = -\frac{1}{\log |a|}$$

t.d.



$$\phi(t) = a^t$$

LEGAME TRA STABILITA' E MATRICE A

Il caso semplicissimo dei sistemi del I ordine

$$\text{t.c. } \dot{x} = ax \rightarrow x(t) = e^{at} x(0)$$

$$\text{t.d. } x(t+1) = ax(t) \rightarrow x(t) = a^t x(0)$$

$$\phi(t) \begin{cases} e^{at} & \text{esponenziale} \\ a^t & \text{geometrica} \end{cases}$$

$A = a$, matrice 1×1 = suo autovalore

t.c.

$$a \begin{cases} < 0 & \text{as. stab.} \\ = 0 & \text{s. stab.} \\ > 0 & \text{(f.) instab.} \end{cases}$$

t.d.

$$|a| \begin{cases} < 1 & \text{as. stab.} \\ = 1 & \text{s. stab.} \\ > 1 & \text{(f.) instab.} \end{cases}$$

Nota: i sistemi del I ordine non possono essere d. instabili

LEGAME TRA STABILITÀ E MATRICE A : sistemi di ordine $n > 1$

Oss: la stabilità non dipende dalla scelta delle variabili di stato.

Quali sono le variabili di stato $z = Tx$ più comode per studiare la stabilità?

Cambio di variabili: $pZ = TAT^{-1}Z$ (mov. libero)

Idea (caso semplice): se TAT^{-1} risulta diagonale, il sistema "visto" dalle variabili z è scomposto in n sistemi del 1° ordine!

$$pZ = \begin{bmatrix} \lambda_1 & 0 & \dots & \dots & 0 \\ 0 & \lambda_2 & & & \\ \vdots & & \ddots & & \vdots \\ 0 & \dots & \dots & 0 & \lambda_n \end{bmatrix} \begin{bmatrix} z_1 \\ z_2 \\ \vdots \\ z_n \end{bmatrix} \rightarrow pZ_i = \lambda_i z_i \begin{cases} z_i(t) = e^{\lambda_i t} z_i(0) & \text{t.c.} \\ z_i(t) = \lambda_i^t z_i(0) & \text{t.d.} \end{cases}$$

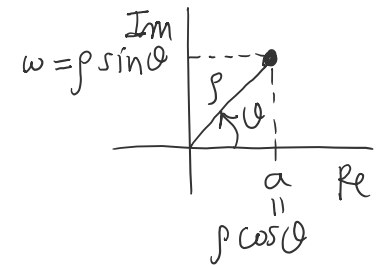
(λ_i autoval. di A)

Attenzione: (λ_i, λ_{i+1}) possono essere complessi coniugati $\lambda_i, \lambda_{i+1} = \begin{cases} a \pm iw \\ p e^{\pm i\theta} = p(\cos\theta \pm i\sin\theta) \end{cases}$

Le soluzioni $z_i(t)$ e $z_{i+1}(t)$ sono anch'esse comp. con.

$$e^{(a \pm iw)t} = e^{at} e^{\pm i\omega t} = e^{at} (\cos(\omega t) \pm i \sin(\omega t)), \quad \begin{aligned} \omega &= \text{Im}(\lambda_i): \text{pulsazione} \\ &= 2\pi \cdot \text{freq. sinusoidi} \end{aligned}$$

$$(p e^{\pm i\theta})^t = p^t e^{\pm i\theta t} = p^t (\cos(\theta t) \pm i \sin(\theta t)), \quad \begin{aligned} \theta &= \text{arg}(\lambda_i): \text{angolo di} \\ &\text{rotazione sinusoidi} \end{aligned}$$



→ per la stabilità conta $\text{Re}(\lambda_i)$ a t.c. e $|\lambda_i|$ a t.d.

LEGAME TRA STABILITÀ E MATRICE A

Criterio di stabilità nel caso semplice (A diagonalizzabile, $z_i(t) = \begin{pmatrix} e^{\lambda_i t} z_i(0) \\ \lambda_i^t z_i(0) \end{pmatrix}$)

Il sistema (la matrice A) è

$$\text{as. stab.} \iff \begin{cases} \text{Re}(\lambda_i) < 0, \text{ t.c.} \\ |\lambda_i| < 1, \text{ t.d.} \end{cases} \quad \forall i = 1, \dots, n$$

$$\text{s. stab.} \iff \begin{cases} \text{Re}(\lambda_i) \leq 0 \\ |\lambda_i| \leq 1 \end{cases} \quad \forall i, \exists i^* : \begin{cases} \text{Re}(\lambda_{i^*}) = 0 \\ |\lambda_{i^*}| = 1 \end{cases}$$

$$\text{(f.) instab.} \iff \exists i^* : \begin{cases} \text{Re}(\lambda_{i^*}) > 0 \\ |\lambda_{i^*}| > 1 \end{cases}$$

Nota: tornando alle var. originali $x = T^{-1}z$ si ottengono soluzioni reali (le eventuali parti immaginarie si semplificano o si moltiplicano per le "i" in T^{-1})

Nota: anche in questo caso il sistema non può essere d. instab.

Notazione: diciamo che λ_i è "stabile" / "instabile" se $\begin{cases} \text{Re}(\lambda_i) \leq 0 \text{ t.c.} \\ |\lambda_i| \leq 1 \text{ t.d.} \end{cases}$, "critico" se "="

RIPASSO: QUANDO A E' DIAGONALIZZABILE? COME SI FA?

Si usano gli autovettori di A come nuovi assi: $T^{-1} = \left[\begin{array}{c|c|c|c|} \text{|||} & \dots & | & \\ \hline \end{array} \right]$
 autovettori di A

→ A diagonalizzabile \leftrightarrow ce ne sono n (indipendenti)

Calcolo degli autovettori associati a λ_i : ci sono $m_{g,i}$ soluzioni indipendenti

$$A v^{(i)} = \lambda_i v^{(i)}, \quad (\lambda_i I - A) v^{(i)} = 0, \quad m_{g,i} = n - \text{rango}(\lambda_i I - A)$$

\hookrightarrow molteplicità geometrica di λ_i

Risulta $m_{g,i} \geq 1$ e $m_{g,i} \leq m_{a,i}$ dove $m_{a,i}$ è la molteplicità algebrica di λ_i

$$\Delta_A(\lambda) = (\lambda - \lambda_1)^{m_{a,1}} \dots (\lambda - \lambda_{n_d})^{m_{a,n_d}}, \quad n_d: \text{numero autovel. distinti}, \quad \sum_{i=1}^{n_d} m_{a,i} = n$$

→ A diagonalizzabile $\leftrightarrow m_{g,i} = m_{a,i}$ (λ_i regolare) $\forall i$

Caso particolare: A è diagonalizzabile se $m_{a,i} = 1 \forall i$

(tutti i λ_i sono radici semplici di $\Delta_A(\lambda)$) ovvero se λ_i sono tutti distinti ($n_d = n$)

In pratica: solo per i λ_i radici multiple, si deve controllare se $m_{g,i} = m_{a,i}$

ESEMPIO: Newton

con attrito, $h > 0$

$$A = \begin{vmatrix} 0 & 1 \\ 0 & -\frac{h}{m} \end{vmatrix} \quad \lambda_1 = 0, \lambda_2 = -\frac{h}{m} \text{ semplici} \rightarrow \text{criterio caso semplice} \rightarrow \text{s. stab.}$$

Senza attrito, $h = 0$

$$A = \begin{vmatrix} 0 & 1 \\ 0 & 0 \end{vmatrix} \quad \lambda_1 = 0, m_{a,1} = 2, \quad \lambda_1 I - A = \begin{vmatrix} 0 & -1 \\ 0 & 0 \end{vmatrix}, \quad m_{g,1} = 2 - \underbrace{\text{ranko}(\lambda_1 I - A)}_1 = 1$$

→ A non diagonalizzabile

→ Non possiamo usare il criterio di stab. semplice, ma sappiamo che il sistema è d. instab.

Intuitivamente; la mancanza di autovett. ass. ad un λ_i "critico" è responsabile della divergenza polinomiale del movimento libero

IL CASO GENERALE CON λ_i NON DIAGONALIZZABILE (LA FORMA CANONICA DI JORDAN)

Supponiamo λ_i multiplo ($m_{a,i} > 1$) e non regolare ($m_{g,i} < m_{a,i}$)

$m_{g,i}$ autovettori: $v^{(i,1)}, \dots, v^{(i,m_{g,i})}$

Mancano $m_{a,i} - m_{g,i}$ vettori per completare il cambio di variabili.

Idea: sceglierli in modo da ottenere TAT^{-1} il più "vicino" possibile alla forma diagonale

Risultato: a partire da ciascun autovett. $v^{(i,j)}$, $j=1, \dots, m_{g,i}$ si genera una sequenza di autovett. generalizzati, $w^{(i,j,1)}, w^{(i,j,2)}, \dots$ (non sono autovettori!). In totale se ne ottengono (indipendenti tra loro e da tutti gli autovett.) proprio $m_{a,i} - m_{g,i}$

si compone il cambio di variabili nel seguente modo:

$m_{a,i}$ vettori ass. a λ_i

$$T^{-1} = \left[\underbrace{\dots}_{\text{autovett. (eventualmente gen.)}} \left| \begin{array}{c} v^{(i,1)} \\ w^{(i,1,1)} \\ w^{(i,1,2)} \\ \dots \\ v^{(i,2)} \\ w^{(i,2,1)} \\ w^{(i,2,2)} \\ \dots \\ \dots \\ \dots \end{array} \right. \right]$$

autovett. (eventualmente gen.)
ass. a $\lambda_1, \dots, \lambda_{i-1}$

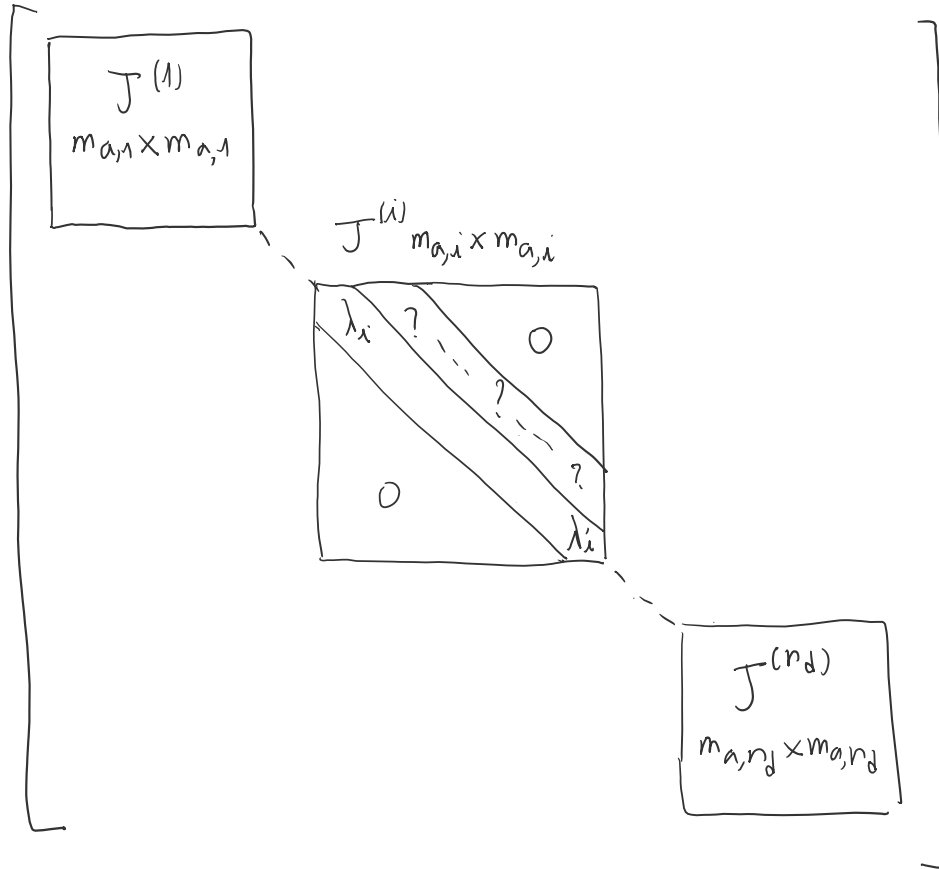
autovett. (eventualmente gen.)
ass. a $\lambda_{i+1}, \dots, \lambda_n$

Si ottiene TAT^{-1} triangolare (superiore) e diagonale a blocchi, con blocchi $J^{(i)}$ ($m_{a,i} \times m_{a,i}$)

IL CASO GENERALE CON A NON DIAGONALIZZABILE (LA FORMA CANONICA DI JORDAN)

Blocchi di Jordan

$$TAT^{-1} =$$



IL CASO GENERALE CON A NON DIAGONALIZZABILE (LA FORMA CANONICA DI JORDAN)

$$T^{-1} = \left[\begin{array}{c|c} \dots & \dots \\ \hline \sigma^{(i,1)} & \dots \\ \nu^{(i,1,1)} & \dots \\ \nu^{(i,1,2)} & \dots \\ \sigma^{(i,2)} & \dots \\ \nu^{(i,2,1)} & \dots \\ \hline \dots & \dots \end{array} \right]$$

$$J^{(i)} = \left[\begin{array}{cccc} \lambda_i & 1 & & \\ & \lambda_i & 1 & \\ & & \lambda_i & 0 \\ & & & \lambda_i & 1 \\ & & & & \lambda_i & \dots \\ & & & & & \dots \end{array} \right]$$

C'è l'elemento "1" sulla sovra diag. se nella corrispondente colonna di T^{-1} c'è un autovett. generalizzato. Ad una sequenza di autovett. gen. ottenuta dall'autovett. $\nu^{(i,j)}$ corrisponde una "catena" di "1" di pari lunghezza sulle sovra-diag.

Qual'è la conseguenza sulle stabilità del sistema?

IL CASO GENERALE CON A NON DIAGONALIZZABILE (LA FORMA CANONICA DI JORDAN)

$$T^{-1} = \left[\dots \left| \begin{array}{c} \sigma^{(i,1)} \\ w^{(i,1,1)} \\ w^{(i,1,2)} \end{array} \right| \sigma^{(i,2)} \quad w^{(i,2,1)} \quad \dots \right]$$

miniblocco
di Jordan

riga q
di TAT^{-1}

$$\left[\begin{array}{ccc|c} \lambda_i & 1 & & \\ & & \ddots & \\ & & & \lambda_i & 1 \\ & & & & \ddots \\ & & & & & \lambda_i & 0 \\ & & & & & & \ddots \\ & & & & & & & \lambda_i & 1 \\ & & & & & & & & \ddots \\ & & & & & & & & & \lambda_i \end{array} \right]$$

Le var. z_q, z_{q-1}, \dots relative ad un miniblocco, costituiscono un sotto-sistema isolato

$$p \begin{bmatrix} \vdots \\ z_q \end{bmatrix} = \begin{bmatrix} & 0 & \\ & \square & \\ 0 & & 0 \\ & 0 & \end{bmatrix} \begin{bmatrix} \vdots \\ z_q \end{bmatrix} \leftarrow q$$

TAT^{-1}

→ possiamo studiare il mov. libero del singolo miniblocco (sono tutti sistemi del I ordine se λ_i è regolare)

IL CASO GENERALE CON A NON DIAGONALIZZABILE (LA FORMA CANONICA DI JORDAN)

Calcoliamo il mov. libero del miniblocco, facciamolo a t.c.

$$\begin{pmatrix} \vdots \\ \dot{z}_{q-1} \\ \dot{z}_q \end{pmatrix} = \begin{pmatrix} 0 & \dots & \lambda_i - 1 \\ 0 & \dots & 0 \end{pmatrix} \begin{pmatrix} z_{q-1} \\ z_q \end{pmatrix}$$

L'ultima variabile è sempre lo stato di un sotto-sist. del I ordine

$$\dot{z}_q = \lambda_i z_q \rightarrow z_q(t) = e^{\lambda_i t} z_q(0)$$

La soluzione si sostituisce nell'eq. di z_{q-1} , che può essere risolta con le formule di L. per sistemi del I ordine con ingresso $z_q(t)$.

$$\dot{z}_{q-1} = \lambda_i z_{q-1} + z_q \rightarrow z_{q-1}(t) = e^{\lambda_i t} z_{q-1}(0) + \int_0^t e^{\lambda_i(t-\tau)} z_q(\tau) d\tau$$

$$\int_0^t \dots = e^{\lambda_i t} \int_0^t \underbrace{e^{-\lambda_i \tau}}_1 \cdot e^{\lambda_i \tau} z_q(0) d\tau = e^{\lambda_i t} z_q(0) t$$

$$\rightarrow z_{q-1}(t) = e^{\lambda_i t} (z_{q-1}(0) + z_q(0) t)$$

IL CASO GENERALE CON A NON DIAGONALIZZABILE (LA FORMA CANONICA DI JORDAN)

Analogamente, sostituendo $z_{q-1}(t)$ nell'equazione per z_{q-2} , si ottiene

$$\dot{z}_{q-2} = \lambda_i z_{q-2} + z_{q-1} \rightarrow z_{q-2}(t) = e^{\lambda_i t} z_{q-2}(0) + \int_0^t e^{\lambda_i(t-\tau)} z_{q-1}(\tau) d\tau$$

$$\int_0^t \dots = e^{\lambda_i t} \int_0^t \underbrace{e^{-\lambda_i \tau}}_1 e^{\lambda_i \tau} (z_{q-1}(0) + z_q(0) \tau) d\tau = e^{\lambda_i t} \left(z_{q-1}(0) t + z_q(0) \frac{t^2}{2} \right)$$

$$\rightarrow z_{q-2}(t) = e^{\lambda_i t} \left(z_{q-2}(0) + z_{q-1}(0) t + z_q(0) \frac{t^2}{2} \right)$$

Conclusione: l'andamento esponenziale viene moltiplicato per un polinomio in t . Il grado massimo compare nella prima var. del miniblocco ed è pari alla lunghezza delle "catene di 1" (pari al numero di autovett. generalizzati coinvolti).

Nota: un risultato analogo vale a t. b.

$$\rightarrow z_q(t) = \lambda_i^t z_q(0)$$

$$\rightarrow z_{q-1}(t) = \lambda_i^t z_{q-1}(0) + \lambda_i^{t-1} t z_q(0)$$

$$\rightarrow z_{q-2}(t) = \lambda_i^t z_{q-2}(0) + \lambda_i^{t-1} t z_{q-1}(0) + \lambda_i^{t-2} \frac{t(t-1)}{2} z_q(0)$$

IL CASO GENERALE CON A NON DIAGONALIZZABILE (LA FORMA CANONICA DI JORDAN)

Riassumendo: nel movimento libero delle variabili z compaiono i seguenti segnali caratteristici, detti modi dell'autovalore λ_i

t.c.	$e^{\operatorname{Re}(\lambda_i)t}$	$\left(\cos(\operatorname{Im}(\lambda_i)t) + i \sin(\operatorname{Im}(\lambda_i)t) \right)$	$\frac{t^{k-1}}{(k-1)!}$
	esp./s. geom reale	sinusoidi di pulsazione $\operatorname{Im}(\lambda_i)$ / angolo rot. $\arg(\lambda_i)$	polinomi in t di grado $k-1$
t.d.	$ \lambda_i ^{t-k+1}$	$\left(\cos(\arg(\lambda_i)(t-k+1)) + i \sin(\arg(\lambda_i)(t-k+1)) \right)$	$\frac{t(t-1)\dots(t-k+2)}{(k-1)!}, t \geq k-1$

$k = 1, 2, \dots$, dimensione dei miniblocchi di $J^{(i)}$ ($k=1$ se λ_i regolare)

($k-1$ = lunghezza della più lunga catena di "1")

Nota: le variabili $x = T^{-1}z$ sono reali e sono combinazioni lineari dei modi, con coefficienti che dipendono dalle righe di T^{-1} (quindi dagli autovettori di A) e dalla cond. iniziale $x(0)$ (che determina $z(0) = Tx(0)$).

Nota: per la stabilità, i polinomi in t sono determinanti solo se λ_i è "critico"
Inoltre non interessa il grado del polinomio, ma solo sapere se zero o ≥ 1

LEGAME TRA STABILITÀ E MATRICE A

Criterio di stabilità (caso generale; A qualsiasi)

Il sistema (la matrice A) è

$$\text{as. stab.} \iff \begin{cases} \text{Re}(\lambda_i) < 0, \text{ t.c.} \\ |\lambda_i| < 1, \text{ t.d.} \end{cases} \quad \forall i = 1, \dots, n$$

$$\text{s. stab.} \iff \begin{cases} \text{Re}(\lambda_i) \leq 0 \\ |\lambda_i| \leq 1 \end{cases} \quad \forall i, \exists i^* : \lambda_{i^*} \text{ critico, tutti i } \lambda_{i^*} \text{ critici sono regolari}$$

$$\text{d. instab.} \iff \begin{cases} \text{Re}(\lambda_i) \leq 0 \\ |\lambda_i| \leq 1 \end{cases} \quad \forall i, \exists i^* : \lambda_{i^*} \text{ critico e non regolare}$$

$$\text{(f.) instab.} \iff \exists i^* : \begin{cases} \text{Re}(\lambda_{i^*}) > 0 \\ |\lambda_{i^*}| > 1 \end{cases}$$

ESEMPI:

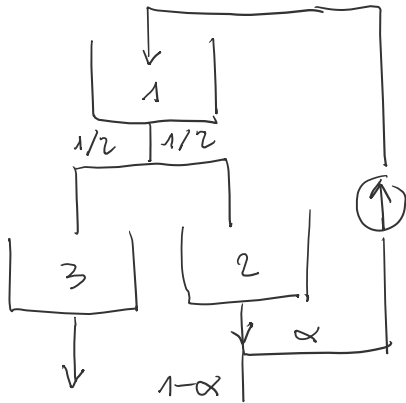
Newton senza attrito, $h=0$

$$A = \begin{vmatrix} 0 & 1 \\ 0 & 0 \end{vmatrix} \quad \lambda_1 = 0, m_{a,1} = 2, \quad \lambda_1 I - A = \begin{vmatrix} 0 & -1 \\ 0 & 0 \end{vmatrix}, \quad m_{g,1} = 2 - \underbrace{\text{rango}(\lambda_1 I - A)}_1 = 1$$

$\rightarrow \lambda_1$ non è regolare \rightarrow d. instab.

Fibonacci: $\lambda_{1,2} = \frac{1 \pm \sqrt{5}}{2}$, $\frac{1 + \sqrt{5}}{2} > 1$ ($-1 < \frac{1 - \sqrt{5}}{2} < 0$) \rightarrow (f.) instab.

Serbatore:



$$A = \begin{bmatrix} -k_1 & \alpha k_2 & 0 \\ k_1/2 & -k_2 & 0 \\ k_1/2 & 0 & -k_3 \end{bmatrix} \rightarrow A^{(1)}, \quad \Delta_{A^{(1)}}(\lambda) = \lambda^2 - \text{tr}(A^{(1)})\lambda + \det(A^{(1)})$$

$$= \lambda^2 + (k_1 + k_2)\lambda + k_1 k_2 \left(1 - \frac{\alpha}{2}\right)$$

$$A^{(1)} \text{ as. stab.} \iff \begin{cases} \text{tr}(A^{(1)}) < 0 \\ \det(A^{(1)}) > 0 \end{cases}$$

$$\lambda_{1,2} = \frac{1}{2} \left[-(k_1 + k_2) \pm \sqrt{(k_1 + k_2)^2 - 4k_1 k_2 \left(1 - \frac{\alpha}{2}\right)} \right] \text{ reali } < 0 \text{ (anche se } \alpha = 1)$$

$$(k_1 - k_2)^2 + 2\alpha k_1 k_2 > 0$$

$$\lambda_3 = -k_3 < 0$$

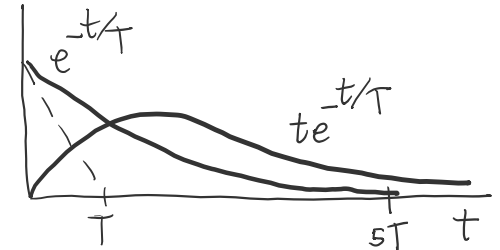
MODI E COSTANTE DI TEMPO DOMINANTE

I modi associati all'autoval. λ_i hanno costante di tempo

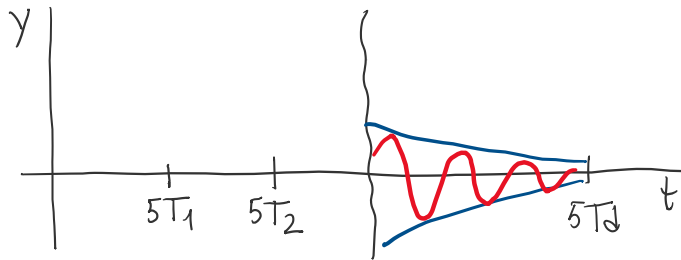
$$T_i = -\frac{1}{\operatorname{Re}(\lambda_i)} \quad \text{t.c.} \quad T_i = -\frac{1}{\log|\lambda_i|} \quad \text{t.d.}$$

Per un sistema as. stab. (tutte le $T_i > 0$), consideriamo un modo "esaurito" (trascurabile) dopo $5T_i$ (il termine esponenziale si è ridotto a meno dell'1% del valore iniziale).

Nota: se nel modo c'è il termine polinomiale di grado $k \geq 1$ impiegherà un po' più tempo a divenire trascurabile, rispetto al modo con $k=0$, ma trascuriamo questo aspetto.

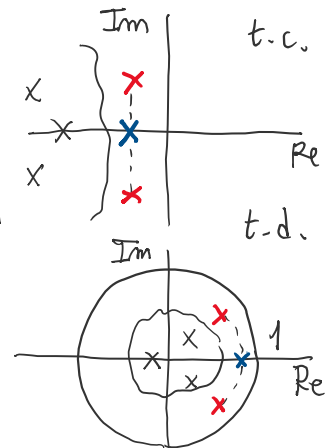


→ nell'ultima parte del mov. libero, resta visibile solo il modo "più lento", detto dominante, quindi un andamento del I (code esp) o II ordine (code esp che modula sin)



c.d.t. dominante $T_d = \max_i \{T_i\}$

T_d è quello con $\operatorname{Re}(\lambda_i)$ meno negativa quindi, tenendo conto del segno, con $\operatorname{Re}(\lambda_i)$ max
 $|\lambda_i|$ max

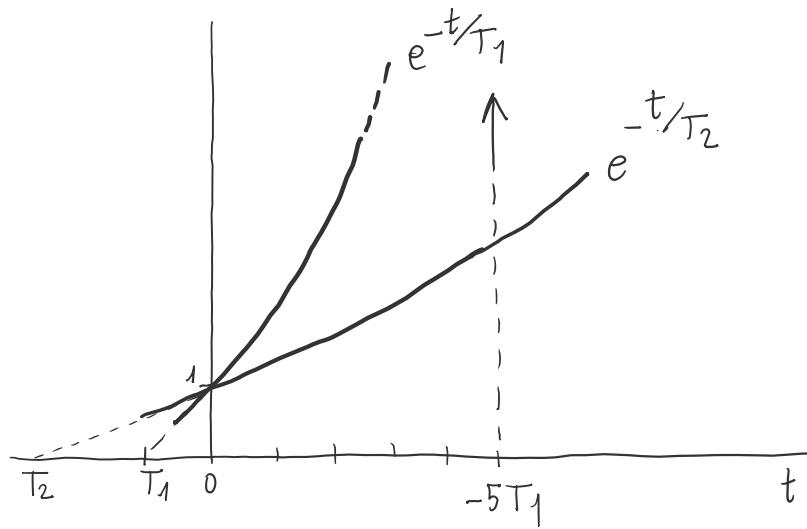


MODI E COSTANTE DI TEMPO DOMINANTE

Il confronto può essere fatto (anche se meno interessante) tra modi "instabili" ($T_i < 0$)

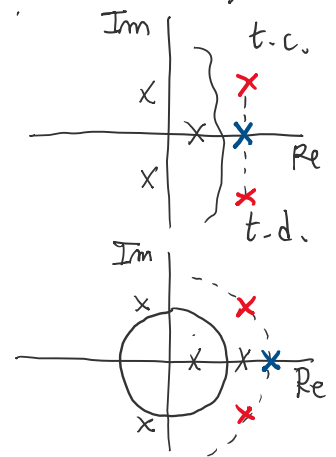
Dopo $-5T_i > 0$ il termine esponenziale ha superato di oltre 100 volte il valore 1 iniziale.

Tutti i modi instabili divergono, ma dopo un po' il contributo principale è dato dal modo più "veloce"



c.d.t. dominante: è quella meno negativa.
Tenendo conto del segno, vale ancora $T_d = \max_i \{T_i\}$

λ_d è quello con $\begin{cases} \text{Re}(\lambda_i) \text{ max} \\ |\lambda_i| \text{ max} \end{cases}$



Nota: nel confronto tra un modo stabile e uno instabile, domina (ovviamente) quello instabile

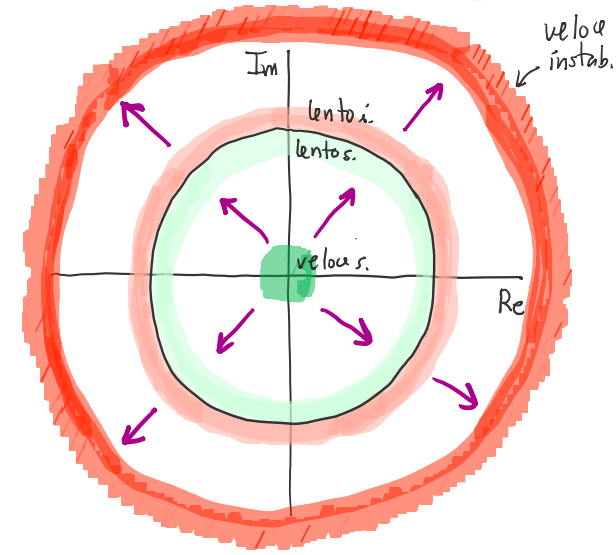
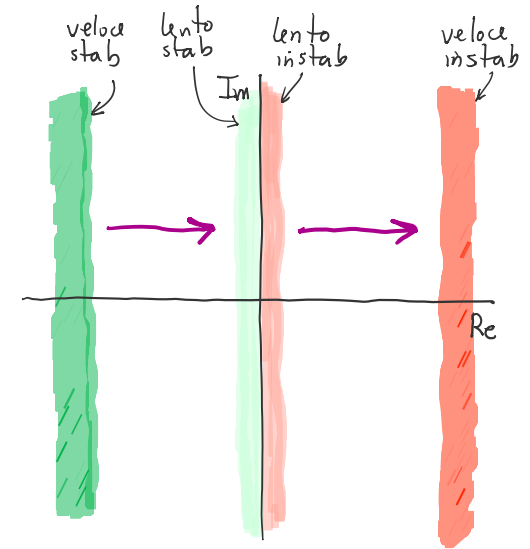
MODI E COSTANTE DI TEMPO DOMINANTE: Riassumendo

modo	T_i	λ_i
"lento" (a convergere a 0 - stab.) (a divergere - instab.)	$ T_i $ grande $(T_i > 0)$ $(T_i < 0)$	$ Re(\lambda_i) $ piccolo $(Re(\lambda_i) < 0, \lambda_i < 1)$ $(Re(\lambda_i) > 0, \lambda_i > 1)$
"veloce"	$ T_i $ piccola	$ Re(\lambda_i) $ grande $log \lambda_i $ grande

"dominante"
tra modi stabili
tra modi instabili

max (con segno)
il più lento
il più veloce

max $Re(\lambda_i)$ (con segno)
max $|\lambda_i|$



STABILITA' E EQUILIBRIO

Stabilità e l'equilibrio (\bar{u}, \bar{x})

I sistemi as. stab. sono quelli (tutti e soli) che hanno \bar{x} unico
 (in corrispondenza di $u(t) = \bar{u}$) e $x(t) \xrightarrow[t \rightarrow +\infty]{} \bar{x} \quad \forall x(0)$ (in circa $5T_d$)
 mov complessivo = libero + forzato (da \bar{u})

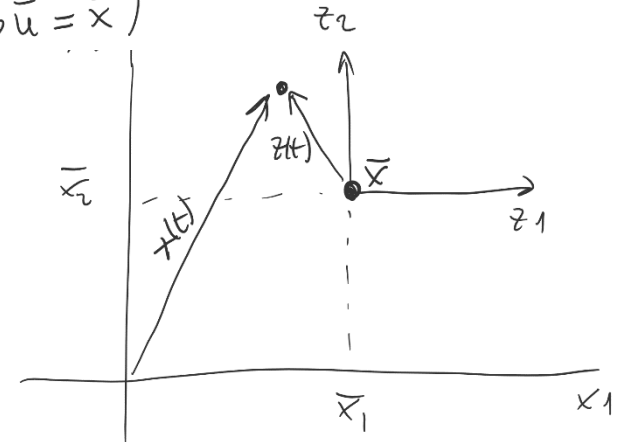
Accenno alla dimostrazione

A as. stab. $\left. \begin{array}{l} \text{t.c.} \\ \text{e.v.} \end{array} \right\} \begin{array}{l} \text{Re}(\lambda_i) < 0 \quad \forall i \rightarrow \text{non } \exists \text{ autoval} = 0 \rightarrow \bar{x} = -A^{-1}b\bar{u} \\ |\lambda_i| < 1 \quad \forall i \rightarrow \text{non } \exists \text{ autoval} = 1 \rightarrow \bar{x} = (I-A)^{-1}b\bar{u} \end{array} \left. \vphantom{\begin{array}{l} \text{t.c.} \\ \text{e.v.} \end{array}} \right\} \text{unico}$
 $(A\bar{x} + b\bar{u} = 0)$
 $(A\bar{x} + b\bar{u} = \bar{x})$

Per dimostrare che $x(t) \rightarrow \bar{x}$ trasliamo gli assi in \bar{x}

$$z(t) = x(t) - \bar{x}$$

↳ vettore distanza da \bar{x}



STABILITA' E EQUILIBRIO

$$\dot{z} = \dot{x} - \frac{d}{dt} \bar{x} = Ax + b\bar{u} = A\underbrace{z}_{\bar{x} + z} + \underbrace{A\bar{x} + b\bar{u}}_0 = Az$$

$$z(t+1) = x(t+1) - \bar{x} = A\underbrace{x(t)}_{\bar{x} + z(t)} + b\bar{u} - \bar{x} = Az(t) + \underbrace{A\bar{x} + b\bar{u} - \bar{x}}_0 = Az(t)$$

→ il mov. complessivo (libero + forzato da \bar{u}) \equiv mov. libero "centrato" in \bar{x}

